

روشی جدید در کنترل آماری فرایند داده‌های خودهمبسته‌ی اتورگرسیو از مرتبه‌ی p

سید تقی اخوان نیاکی (استاد)

محمد صابر فلاخ‌زاد (دانشجوی دکترا)

دانشکده‌ی مهندسی صنایع، دانشگاه صنعتی شریف

در کنترل فرایند آماری^۱، نمودارهای کنترل یکی از قوی‌ترین ابزارهای شناخته‌شده محسوب می‌شوند. اما چنانچه مشاهدات ناشی از فرایند خودهمبسته^۲ باشند، نمودارهای کنترل استاندارد بسته به نوع خودهمبستگی، یا زنگ خطرهای اشتباه تولید می‌کنند و یا بسیار ضعیف و کم‌اثر عمل می‌کنند. در ادبیات کنترل فرایند آماری، تاکنون روش‌هایی برای کنترل داده‌های خودهمبسته‌ی اتورگرسیو^۳ از مرتبه‌های یک و دو پیشنهاد، و عملکرد آنها از طریق منحنی‌های متوسط طول دنباله^۴ بررسی شده است. در این نوشتار روشی جدید برای کنترل داده‌های خودهمبسته‌ی اتورگرسیو از مرتبه‌ی p ارائه و درجهت بهبود عملکرد آن تحقیق شده است. سپس متوسط طول دنباله در این روش با استفاده از شبیه‌سازی با متوسط طول دنباله در بهترین روش موجود برای داده‌های خودهمبسته‌ی اتورگرسیو از مرتبه‌های یک و دو، مقایسه شده است.

niaki@sharif.edu
fallahnezhad@mehr.sharif.edu

۱. مقدمه و بررسی ادبیات

می‌شود و کارایی آنها با استفاده از شبیه‌سازی بررسی خواهد شد. بدین منظور در بخش ۲ روش‌های کنترل فرایند آماری برای داده‌های خود همبسته‌ی اتورگرسیو مرتبه‌ی p توسعه داده می‌شوند. سپس در بخش ۳ نمودار کنترل فرایند برای داده‌های خودهمبسته‌ی اتورگرسیو مرتبه‌ی ۱، به نموداری دیگر با کارایی بالاتر تبدیل می‌شود و عملکرد آن مورد بررسی قرار می‌گیرد. در بخش ۴ همین کار در مورد مدل اتورگرسیو مرتبه‌ی ۲ انجام می‌شود و آنگاه این نوع تبدیل‌ها به مدل‌های اتورگرسیو مرتبه‌ی p در بخش ۵ توسعه خواهدند یافت. در بخش ۶ نتیجه‌گیری نهایی ارائه شده است.

۲. روش‌های کنترل فرایند آماری برای داده‌های خودهمبسته‌ی اتورگرسیو مرتبه‌ی p

فرض کنید داده‌های مربوط به یک مشخصه‌ی کمی همبسته‌اند و این همبستگی از نوع اتورگرسیو مرتبه‌ی p است. بدین ترتیب اگر X_t میانگین مشاهده از مشخصه‌ی کیفی در زمان t باشد، آنگاه:

$$X_t - \mu = \phi_1(X_{t-1} - \mu) + \dots + \phi_p(X_{t-p} - \mu) + \varepsilon_t; \quad t \in Z \quad (1)$$

که در آن μ میانگین فرایند، ϕ_i ‌ها پارامترهای مدل، و ε_t خطای تصادفی مستقل و هم‌توزیع فرایند در زمان t است که از یک توزیع نرمال با میانگین صفر و

در مورد عدم کارایی نمودارهای کنترل استاندارد برای داده‌های خودهمبسته، الون و همکارانش^[۱] نشان داده‌اند که برای ۲۳۵ نمونه از داده‌های خودهمبسته، در ۸۵٪ از موارد حدود کنترل به طور اشتباه محاسبه شده که بیش از ۵٪ آن به خاطر نقض فرض استقلال بوده است. همچنین نورالسناء واقفی^[۲] با استفاده از متوسط طول دنباله، اثر خودهمبستگی را بر نمودارهای جمع‌تجمعی چندمتغیره^۵ بررسی کرده‌اند و به این نتیجه رسیده‌اند که خودهمبستگی عملکرد این نمودارها را مختل می‌کند. به طور کلی با نقض فرض استقلال، نمودارهای کنترل استاندارد عملکرد خوبی از خود نشان نمی‌دهند، به طوری که نقاط رسم شده روی این نمودارها دیگر قابل تعبیر و تفسیر نخواهند بود و نتایج نامطابقی ارائه می‌دهند.

نگارنده‌گان با تجزیه و تحلیل کارایی نمودارهایی چون نمودار کنترل اصلاح شده‌ی شوهارت، نمودار کنترل باقی‌مانده‌ها، نمودار اصلاح شده‌ی کنترل باقی‌مانده‌ها، نمودار اصلاح شده‌ی میانگین متخرک موزون نمایی^۶، نمودار میانگین متخرک موزون نمایی باقی‌مانده‌ها تحت شرایط مختلف خودهمبستگی به بررسی و ارزیابی نمودارهای کنترل فرایند آماری برای داده‌های خودهمبسته‌ی اتورگرسیو از مرتبه‌ی ۱ و ۲ پرداختند.^[۳] آنان سپس الگوییتمی برای انتخاب نمودار کنترل مناسب، به‌منظور کنترل داده‌های خودهمبسته ارائه داده‌اند.

با فرض این که داده‌های ناشی از فرایند از یک مدل اتورگرسیو مرتبه‌ی p برخوردار باشند، در این نوشتار روشی جدید برای کنترل آماری این‌گونه فرایندها مطرح

متقل می شود برابر است با $\sigma_x = \sqrt{\sum_{i=1}^p \phi_i}$. بنابراین اگر $\sum_{i=1}^p \phi_i \leq 1$ فقط در صدی از تغییرات باقیمانده ها متقل می شود و عملکرد نمودار باقیمانده ها نسبت به نمودار شوهرت استاندارد کاهش می یابد. در غیر این صورت نمودار باقیمانده ها عملکرد بهتری خواهد داشت. برای رفع این مشکل یک تخمین گر قوی میانگین، که معمولاً \bar{x} نامیده شده است، به کار می آید. سپس این تخمین در مقدار $\phi = \frac{p}{\sum_{i=1}^p \phi_i}$ ضرب، و به باقیمانده ها اضافه می شود. درنتیجه چنانچه به اندازه $\delta \sigma_x = \sqrt{\sum_{i=1}^p \phi_i \delta \sigma_i}$ در میانگین فرایند تغییر به وجود آید، مقدار تغییر انتقال یافته به باقیمانده هی فرایند با استفاده از رابطه $\delta \sigma_x = \sqrt{\sum_{i=1}^p \phi_i \delta \sigma_i}$ به دست می آید.

$$\left(1 - \sum_{i=1}^p \phi_i\right) \delta \sigma_x + \sum_{i=1}^p \phi_i \delta \sigma_i = \delta \sigma_x \quad (4)$$

به عبارت دیگر در حالی که فرض استقلال کماکان برقرار است، تمام تغییرات به باقیمانده ها متقل می شود و مسئله به استفاده از یک نمودار شوهرت ساده تبدیل می شود. نمودار باقیمانده های اصلاح شده هنگامی که $\sum_{i=1}^p \phi_i \leq 1$ باشد عملکرد بهتری نسبت به نمودار باقیمانده ها و نمودار شوهرت اصلاح شده دارد.

۴.۲. نمودار اصلاح شده میانگین متحرک موزون نمایی (EWMA)

آماره $W_{x,t}$ که با t نشان داده می شود، از طریق رابطه (5) به دست می آید:

$$W_{x,t} = \lambda X_t + (1 - \lambda) W_{x,t-1} \quad (5)$$

که در آن $0 < \lambda < 1$ پارامتر مدل است. حال اگر X_t ها مستقل از هم باشند، واریانس $W_{x,t}$ از رابطه (6) به دست می آید:

$$Var(W_{x,t}) = \left(\frac{\lambda}{2 - \lambda}\right) \sigma_x^2 \quad (6)$$

بنابراین می توان به سادگی برای کنترل یک فرایند از آماره EWMA مربوط به آن استفاده کرد. نمودار اصلاح شده میانگین متحرک موزون را [برتس^[۱۲]] پیشنهاد کرد، و هانتر^[۱۳] آن را بسط داد. همچشمین کرودر^[۱۴] روشی ساده برای محاسبه متوسط طول دنباله ای تحت کنترل در این نمودار ارائه داده است.

نمودار EWMA نسبت به تغییرات در میانگین، درصورتی که این تغییر مقدار خیلی زیادی نداشته باشد، ($\lambda > 0.2$ در مقایسه با نمودار شوهرت حساس تر است. البته در نمودار کنترلی EWMA مقدار بهینه ای ضریب انحراف معیار فرایند متناسب با تغییر در میانگین، و به گونه ای تعیین می شود که نمودار بتواند سریعتر آن را شناسایی کند.^[۱۵]

حال چنانچه در داده ها همبستگی از نوع اتورگرسیو مرتبه p وجود داشته باشد، این همبستگی اثر بیشتری بر نمودار EWMA استاندارد نسبت به نمودار شوهرت استاندارد می گذارد.^[۱۶] در نمودار اصلاح شده EWMA نیز از استدلال مربوط به نمودار اصلاح شده شوهرت استفاده می شود. در این حالت ضریب انحراف معیار طوری تعدیل می شود که هنگامی که هیچ تغییری در فرایند روی نمی دهد -- برابر باشد.

واریانس $\delta \sigma_x$ برخوردار است. اگر عملکرد انتقال پسرو^[۷] را با B نشان دهیم طوری که $BX_t = X_{t-1}$ آنگاه رابطه (1) را می توان به صورت رابطه (2) بازنویسی کرد:

$$(2) \quad \phi(B)(X_t - \mu) = \varepsilon_t$$

که در آن $(B)\phi$ یک چندجمله ای از B با درجه p است. حال چنانچه بین داده های حاصل از یک مشخصه ای کیفی همبستگی از نوع اتورگرسیو مرتبه p وجود داشته باشد و از نمودار استاندارد شوهرت برای کنترل این مجموعه داده استفاده کنیم، بررسی های انجام شده با استفاده از شبیه سازی نشان داده است که این نمودارها عملکرد مطلوبی از خود نشان نمی دهند.^[۱۷] در ادامه به بررسی و بسط روش های مختلف حل این مشکل خواهیم پرداخت.

۱.۲. نمودار کنترل اصلاح شده شوهرت

در تصحیح نمودارهای کنترل شوهرت، نمودارهای کنترل برای بررسی میانگین و واریانس فرایند های خود همبسته ارائه شده اند.^[۱۸] در این نمودارها از دو نوع تطبیق $\delta \sigma_x$ در نمودار کنترل استفاده می شود. در تطبیق نوع اول که از واریانس واقعی فرایند بهره می گیرد، به راحتی با گرفتن واریانس افراد طرف رابطه (1) می توان نشان داد که واریانس فرایند $(\delta \sigma_x)$ از رابطه (3) به دست می آید که در آن $\tau = \frac{1}{\lambda}$ کواریانس بین داده ها در زمان های $i - t$ و $j - t$ است.^[۱۹]

$$(3) \quad \delta \sigma_x = \frac{2 \sum_{i=1}^{p-1} \sum_{j=i+1}^p \phi_i \phi_j \gamma_{i-j} + \sigma_\varepsilon^2}{1 - \sum_{i=1}^p \phi_i^2}$$

در تطبیق نوع دوم، ضریب انحراف معیار واقعی فرایند در حدود کنترل طوری تعديل می شود که متوسط طول دنباله ای نمودار کنترلی در حالت خود همبستگی و در حالت استقلال -- زمانی که هیچ تغییری در فرایند روی نداده باشد -- برابر باشند؛ به عبارت دیگر، حدود کنترل طوری تغییر داده می شود که هر دو نمودار دارای خطای نوع اول برابر باشند و سپس با توجه به خطای نوع دوم به مقایسه نمودارها پرداخته می شود.

۲.۱. نمودار کنترل باقیمانده ها

اگر «باقیمانده» را اختلاف بین مقدار مشاهده شده یک مشخصه ای کیفی و مقدار تخمینی آن توسط یک مدل تعریف کنیم، آنگاه در نمودار کنترل باقیمانده ها از این واقعیت استفاده می شود که باقیمانده های مشاهده ای از طریق مدل های اتورگرسیو مرتبه p به دست می آیند، مستقل خطی اند. بنابراین می توان با مشاهدات ناشی از آنها مانند داده بی ممستقل رفتار کرده و از نمودارهای کنترلی استاندارد برای پایش آنها استفاده کرد.

برتوکس و همکاران^[۲۰] روشی برای کنترل باقیمانده های یک مدل اتورگرسیو ارائه داده اند. همچنین ارمرو و همکاران روشی برای کنترل باقیمانده های یک مدل میانگین متحرک اتورگرسیو (مرتبه 1 و 2) مطرح کردند.^[۲۱] دیگر محققین برای پایش باقیمانده های یک مدل میانگین متحرک اتورگرسیو از درجه 1 چهارم روشی جدید ارائه^[۲۲] و نیز متوسط طول دنباله ای نمودار باقیمانده ها را محاسبه کردند.^[۲۳]

۲.۲. نمودار کنترل باقیمانده های اصلاح شده

در نمودار کنترل باقیمانده ها به راحتی می توان نشان داد که اگر تغییری به میزان $\delta \sigma_x$ در میانگین فرایند اتورگرسیو مرتبه p به وجود آید، آنگاه مقدار تغییری که به باقیمانده ها

جدول ۱. مقایسه‌ی عملکرد روش جدید و روش قدیم به ازای $\phi = 2^\circ$ و $\lambda = -3^\circ$.

متوسط طول دنباله		ضریب تغییر در میانگین ($\delta\sigma_Y$)
روش قدیم	روش جدید	
۲۸۲,۶۳	۲۷۶,۲۸	۰,۱۰
۱۶۶,۸۳	۱۶۱,۲۴	۰,۲۰
۱۲۸,۱۸	۱۲۰,۰۳	۰,۲۵
۶۲,۵۱	۶۰,۷۸	۰,۴۰
۳۲,۵۳	۳۲,۲۵	۰,۶۰
۲۱,۲۵	۲۱,۱۳	۰,۸۰
۱۵,۳۵	۱۵,۶۰	۱,۰
۹,۰۲	۹,۶۴	۱,۵

جدول ۲. مقایسه‌ی عملکرد روش جدید و روش قدیم به‌ازای $\phi = 5^\circ$ و $\lambda = 3^\circ$.

متوسط طول دنباله		ضریب انحراف استاندارد (δ)
روش قدیم	روش جدید	
۲۸۲,۶۳	۲۷۰,۰۲	۰,۱۰
۱۶۶,۸۳	۱۴۹,۹۶	۰,۲۰
۱۲۸,۱۸	۱۱۴,۲۷	۰,۲۵
۶۳,۵۱	۵۷,۴۴	۰,۴۰
۳۲,۰۳	۳۱,۹۹	۰,۶۰
۲۱,۲۵	۲۲,۳۵	۰,۸۰
۱۰,۳۵	۱۷,۰۴	۱,۰
۹,۰۲	۱۱,۹۰	۱,۵

با توجه به این که بهاری^۳ = نمودار EWMA باقیمانده‌های اصلاح شده بهترین عملکرد را دارد^[۲] متوسط طول دنباله‌ی روش پیشنهادی با متوسط طول دنباله‌ی نمودار باقیمانده‌های اصلاح شده (روش قدیم) بهاری^۴ = $\lambda = 0.2$ و انتقالاتی مختلف در میانگین فرایند با استفاده از 10000 تکرار شبیه‌سازی مقایسه، و تیجه‌ی آن در جدول ۱ ارائه شده است.

همان طور که از اطلاعات جدول ۱ بهارای ضرایب انحراف استاندارد δ ، λ و γ که به عنوان انتقال در میانگین فرایند تعریف می‌شوند متوسط طول دنباله در روش جدید بهتر از این مقادیر برای روش قبیمی است. اگر همین مطالعه وقتي که $\lambda = -\gamma$ است انجام شود، بدليل این که مقدار خودهمبستگي در روش جدید برابر $\gamma = -\lambda$ است و کماکان نمودار EWMA باقی مانده‌های اصلاح شده بالاترین کارایی را دارد، عملکرد روش جدید با عملکرد این نمودار سنجیده می‌شود و نتایج ارجاعی شده در جدول ۲ به دست می‌آيد.

از مقایسه عملکرد دو نمودار مشخص می‌شود که بهارای $\gamma / \delta \leq 0.7$ ، روش

جدید بهتر از تمامی روش‌های موجود عمل می‌کند.

حال برای این که بدانیم عملکرد نمودار تا چه حد قابل بهبود است مقدار λ انتخاب می‌شود. در این حالت مقدار خودهمبستگی در روش جدید برابر با $\lambda = \phi - \lambda_0$ خواهد بود و نمودار شوهرت باقی مانده‌های اصلاح شده در بین نمودارهای کنترل مطرح شده در ادبیات بهترین عملکرد را خواهد داشت.^[۲]

بنابراین با استفاده از این روش نتایج ارائه شده در جدول ۳ به دست می‌آید.

از مقایسه‌ی عملکرد دو نمودار کنتربل در جدول ۳ مشخص است که به‌ایرانی δ روش جدید بهتر از روش قدیم عمل می‌کند. البته در این حالت اصلاح بعدها آنرا نیاز نداشتم، اما که بایان δ به دست آمد این است: هر

وَيُرَى مِنْهُمْ أَنَّهُمْ لَا يَسْمَعُونَ

۵. نمودار میانگین متحرك موزون نمایی باقیماندها

نمودار میانگین متحرک موزون نمایی (EWMA) استاندارد را می‌توان برای باقی‌مانده‌های مدل اتورگرسیو مرتبه‌ی p به کار برد. برای این کار آماره‌ی $W_{e,t}$ به صورت رابطه‌ی ۷ تعریف می‌شود:

$$W_{e,t} = \lambda e_t + (1 - \lambda) W_{e,t-1} \quad (\forall)$$

همچنین می‌توان واریانس تقریبی $W_{e,t}$ را از رابطه‌ی ۸ محاسبه کرد:

$$\sigma_{W_{e,t}}^{\dagger} \approx \sigma_{\varepsilon}^{\dagger} \left(\frac{\lambda}{\gamma - \lambda} \right) \quad (\text{A})$$

بنابراین می‌توان نمودار EWMA استاندارد را به سادگی برای کنترل باقی‌مانده‌ها به کار برد. این نمودار در حالت ۲ $\sum_{i=1}^p \phi_i \leq 0$ عملکرد ضعیف‌تری نسبت به نمودار EWMA اصلاح شده‌ی EWMA دارد و در غیر این صورت، نمودار اصلاح شده‌ی EWMA عملکرد بهتری خواهد داشت.^[۴]

۲.۶. نمودار EWMA باقی‌مانده‌های اصلاح شده

در این روش نمودار EWMA برای باقیمانده‌های اصلاح شده به کار می‌رود. در این حالت نظیر آنچه که در مرور نمودار کنتل باقیمانده‌های اصلاح شده مطرح شد، عملکرد نمودار بهمازای $\sum_{i=1}^p \phi_i \leq 2$ از نمودار EWMA اصلاح شده و باقیمانده‌ها بهتر خواهد بود.^[۱]

۳. تبدیل مدل اتورگ

۱ مکارا، بالاتو

برای افزایش کارایی نمودار EWMA آماره‌ی $W_{x,t}$ به صورت رابطه‌ی ۹ تعریف می‌شود:

$$W_{x,t} = (\phi - \lambda) W_{x,t-1} + \lambda X_t \quad (4)$$

در پیوست الف نشان داده شده است که آماره‌ی $A_t = X_t - W_{x,t}$ از مدل اتورگرسیو مرتبه ۱ با پارامتر λ $- \phi$ پیروی می‌کند. همچنین در پیوست ب آمده است که بهمازی ${}^0 < \lambda < 1$ $- \phi$ مقدار تغییر نسبی که به میانگین مستقل می‌شود در داده‌های مربوط به آماره‌ی A_t از داده‌های مربوط به X_t بیشتر خواهد بود. این افزایش تغییر نسبی از یک طرف به بهبود عملکرد نمودارهای کنترل می‌انجامد و از طرف دیگر جون ${}^0 < \lambda < \phi$ ، مقدار خودهمبستگی موجود در مدل افزایش می‌یابد که ممکن است به کاهش کارایی نمودارهای کنترل منجر شود. در این حالت با استفاده از شبیه‌سازی می‌توان مقادیر λ را برای نمودارهای کنترول چنان به دست آورد که کارایی آنها افزایش یابد. روش استفاده شده در شبیه‌سازی در پیوست ج و برنامه‌ی کدشده‌ی *Visual Basic* نیز در پیوست د آورده شده است.

بازی مقدار مختلف λ , عملکردهای نمودارهای کنتل برای آماره‌ی A_t و X_t با استفاده از شبیه‌سازی مقایسه شده‌اند. در مرور به کارگیری نوع نمودارهای کنتل برای آماره‌ی A_t , با توجه به این که این آماره از مدل اتوگرسیو مرتبه‌ی ۱ با پارامتر $\lambda = \phi$ برخوردار است, می‌توان از الگوریتم مطرح شده توسط نگارندگان دیده باشند [۲].

جدول ۵. مقایسه‌ی عملکرد روش جدید و قدیم به‌ازای $\phi = -0,0^3, 0,6$

متوسط طول دنباله	ضریب انحراف استاندارد (۸)
روش قدیم	روش جدید
۱۲۳,۸۹	۱۲۴,۷۴
۴۱,۰۳	۴۱,۲۸
۲۸,۱۸	۲۸,۴۹
۱۳,۰۱	۱۳,۶۲
۷,۶۷	۷,۶۷
۰,۳۹	۰,۳۸
۴,۱۸	۴,۱۹
۲,۷۷	۲,۷۶

مرتبه‌ی $1 < \phi < 0$ نشان داده است که اگر ابتدا تبدیل $A_t = X_t - W_{x,t}$ روی داده‌ها اعمال شود و سپس نمودارهای کنترل مناسب برپا شوند، عملکرد نمودار برای داده‌های A_t به‌ازای تغییرات کوچک و متوسط میانگین، بهتر و به‌ازای تغییرات بزرگ میانگین، بهتر نخواهد بود. این بدان علت است که مقدار تغییر نسبی که به میانگین A_t منتقل می‌شود یک تغییر حدی است (همان‌گونه که در مدل ریاضی نیز نشان داده شد)، و برای مثال پس از ۵ قدم به میانگین منتقل می‌شود و این عامل به همراه افزایش مقدار خودهمبستگی سبب می‌شود که کارایی روش جدید به‌ازای تغییرات بزرگ در میانگین نسبت به روش قبلی کاهش یابد.

۴. تبدیل یک مدل اتورگرسیو مرتبه ۲ به یک مدل اتورگرسیو مرتبه ۲ با کارایی بالاتر

در اینجا نیز مشابه روش پیشنهادی برای داده‌های ناشی از فلیند اتورگرسیو مرتبه ۱، آماره‌ی $W_{x,t}$ به صورت

$$W_{x,t} = \lambda X_{t-1} + \lambda X_{t-2} + (\phi_1 - \lambda)W_{x,t-1} + (\phi_2 - \lambda)W_{x,t-2} \quad (10)$$

تعریف می‌شود. در این صورت چنانچه $A_t = X_t - W_{x,t}$ به صورت $A_t = X_t - W_{x,t}$ تعریف شود، آنگاه از فلیند اتورگرسیو مرتبه ۲ با پارامترهای $\lambda - \phi_1 - \lambda$ و $\phi_2 - \lambda$ برخوردار است (پیوست ه).

باید توجه داشت که مقدار λ در روش جدید چنان انتخاب شود که داده‌های تبدیل شده ایستا باشند. لازمه‌ی این کار محدود بودن واریانس عنصر خطای مدل اتورگرسیو مرتبه ۲ است. حال با علم بر این که مدل اتورگرسیو مرتبه ۲ تبدیل شده دارای پارامترهای $\lambda - \phi_1 - \lambda$ و $\phi_2 - \lambda$ است، براساس رابطه‌ی واریانس برای عناصر خطای این مدل باید رابطه‌ی ۱۱ برقرار باشد:

$$\sigma_x^2 = \frac{1}{1 - (\phi_1 - \lambda)^2 - (\phi_2 - \lambda)^2 - 2 \frac{(\phi_1 - \lambda)(\phi_2 - \lambda)}{1 - \phi_2 + \lambda}} > 0 \quad (11)$$

حال چنانچه مقادیر $\phi_1 = 0, 0, 2$ و $\phi_2 = 0, 0, 2$ در رابطه‌ی ۱۱ قرار داده شوند، نتیجه شده ایستا خواهد بود. خلاصه‌ی از نتایج مطالعه‌ی شبیه‌سازی به‌ازای $\phi_1 = 0, 0, 4$ و $\phi_2 = 0, 0, 2$ در جدول ۶ ارائه شده است.

باید توجه داشت که چون $\lambda = 0, 0, 6$ انتخاب شده است مقادیر خودهمبستگی در روش جدید برابر با $0, 59$ و $0, 39$ و $\phi_1 - \lambda = 0, 59$ و $\phi_2 - \lambda = 0, 39$ خواهند بود. درنتیجه

است. در حالتی که $\lambda = 0, 0, 6$ کارایی نمودار پیشنهادی کاهش می‌یابد. مطالعه‌ی شبیه‌سازی به‌ازای $\phi = 0, 0, 6$ نیز انجام شده و نتایج حاصل از ۱۰۰۰۰ تکرار در جدول ۴ آمده است.

باید توجه داشت که در این حالت چون $\lambda = 0, 0, 6$ انتخاب شده است، مقدار خودهمبستگی در روش جدید برابر با $0, 99 - \lambda = 0, 99 - \phi$ خواهد بود و براساس الگوریتم پیشنهادی نگارندگان،^[۲] نمودار شوهرارت باقی‌مانده اصلاح شده بهترین عملکرد را خواهد داشت (روش قدیم در ستون سوم جدول ۴ اشاره به این روش دارد). از مقایسه‌ی عملکرد دو نمودار مشخص می‌شود که به‌ازای $\lambda < 0, 2$ روش جدید بهتر از روش قدیم عمل می‌کند.

در مردم مقادیر λ بهترین روش موجود (قدیم) نمودار EWMA باقی‌مانده‌ها است.^[۱] با علم بر این که در روش قدیم مقدار تغییری که به باقی‌مانده‌ها منتقل می‌شود برابر با $(\phi - 0, 0, 6)$ است، براساس استدلال‌های گذشته مقدار حدی تغییری که به باقی‌مانده‌های روش جدید منتقل می‌شود برابر است با:

$$(1 - \phi + \lambda)(\delta\sigma_x) = \delta\sigma_x (1 - \phi) \quad (1)$$

بنابراین مقدار حدی تغییری که در روش جدید به باقی‌مانده‌ها منتقل می‌شود با مقدار حدی تغییری که به باقی‌مانده‌ها در روش قدیم منتقل می‌شود برابر خواهد بود و چون این مقدار پس از چند قدم به باقی‌مانده‌ها منتقل می‌شود، انتظار می‌رود که عملکرد روش جدید مطلوب تراز روش قدیم نباشد. این نتیجه در مطالعات شبیه‌سازی نیز به چشم می‌خورد. نتایج شبیه‌سازی حاصل از ۱۰۰۰۰ تکرار به‌ازای $\lambda = 0, 0, 6$ در جدول ۵ خلاصه شده است. مطابق انتظار، عملکرد دو روش اختلاف ناچیزی باهم دارد.

به طور خلاصه، مطالعات شبیه‌سازی برای داده‌های ناشی از یک فلیند اتورگرسیو

جدول ۳. مقایسه‌ی عملکرد روش جدید و روش قدیم به‌ازای $\phi = 0, 0, 3$ و $\lambda = 0, 0, 6$

متوسط طول دنباله	ضریب انحراف استاندارد (۸)
روش قدیم	روش جدید
۲۸۲,۶۳	۲۵۷,۷۱
۱۶۶,۸۳	۱۳۹,۴۳
۱۲۸,۱۸	۱۰۷,۳۸
۶۳,۰۱	۵۶,۴۷
۳۳,۰۳	۲۳,۸۴
۲۱,۰۵	۲۴,۲۵
۱۵,۰۵	۱۹,۲۷
۹,۰۲	۱۳,۳۴

جدول ۴. مقایسه‌ی عملکرد روش جدید و روش قدیم به‌ازای $\phi = 0, 0, 6$ و $\lambda = 0, 0, 6$

متوسط طول دنباله	ضریب انحراف استاندارد (۸)
روش قدیم	روش جدید
۳۵۴,۹۱	۳۴۴,۰۷
۲۲۰,۸۶	۲۹۸,۲۲
۲۹۵,۸۹	۲۷۲,۴۰
۲۶۳,۵۱	۲۵۶,۴۷
۲۲۲,۹۳	۱۹۷,۶۹
۱۱۱,۱۰	۹۸,۹۳
۸۲,۰۲	۷۷,۱۵
۴۶,۴۹	۵۰,۳۲

جدول ۶. مقایسه‌ی عملکرد روش جدید و قدیم به‌ازای $\lambda = -0,19$ و $\phi_1 = -0,2, \phi_2 = -0,3, \lambda = -0,4$ در جدول ۷ خلاصه شده که نشان‌گر عملکرد تقریباً یکسانی است.

۵. تبدیل یک مدل $AR(p)$ به یک مدل $AR(p)$ با کارایی بالاتر

به صورت تعمیمی از فرایندهای $AR(1)$ و $AR(2)$ در حالت کلی وقتی که داده‌ها از یک فرایند $AR(p)$ برخوردار باشند، می‌توان $W_{x,t}$ را به صورت

$$W_{x,t} = \lambda X_{t-1} + \lambda X_{t-2} + \dots + \lambda X_{t-p} + (\phi_1 - \lambda)W_{x,t-1} + (\phi_2 - \lambda)W_{x,t-2} + \dots + (\phi_p - \lambda)W_{x,t-p} \quad (12)$$

تعریف کرد. حال چنانچه $A_t = X_t - W_{x,t}$ به صورت $A_t = X_t - W_{x,t}$ تعریف شود در پیوست ح نشان داده است که از مدل $A_t = X_t - W_{x,t}$ با پارامترهای $AR(p)$ با $\phi_1 - \lambda$ و $\phi_2 - \lambda \dots \phi_p - \lambda$ برخوردار خواهد بود. در این حالت، همانند آنچه که در مورد فرایندهای اتورگرسیو مرتبه ۱ و ۲ نشان داده شد، می‌توان نشان داد که چنانچه $\sum_{i=1}^p \phi_i \leq 2^\circ$ باشد، روش جدید به‌ازای تغییرات کوچک و متوسط در میانگین نسبت به روش‌های قدیم از کارایی بیشتری برخوردار خواهد بود.

روش قدیم	متوسط طول دنباله	ضریب انحراف استاندارد (8)
۳۲۴,۷۲	۳۰,۹۱	۰,۱۰
۲۴۱,۶۳	۱۹۹,۸۱	۰,۲۰
۱۹۸,۱۴	۱۶۰,۲۲	۰,۲۵
۱۱۶,۰۵	۹۷,۱۳	۰,۴۰
۶۳,۴۷	۶۳,۱۲	۰,۶۰
۴۰,۳۲	۴۷,۳۹	۰,۸۰
۲۹,۳۰	۳۹,۱۶	۱,۰
۱۶,۵۷	۲۸,۶۶	۱,۵

جدول ۷. مقایسه‌ی عملکرد روش جدید و قدیم به‌ازای $\lambda = -0,3$ و $\phi_1 = -0,2, \phi_2 = -0,4$

روش قدیم	متوسط طول دنباله	ضریب انحراف استاندارد (8)
۱۵۰,۳۱	۱۴۹,۰۴	۰,۱۰
۵۳,۹۵	۵۲,۹۱	۰,۲۰
۳۶,۲۲	۳۶,۴۷	۰,۲۵
۱۶,۸۳	۱۶,۷۷	۰,۴۰
۹,۲۷	۹,۳۴	۰,۶۰
۶,۴۹	۶,۳۹	۰,۸۰
۴,۹۳	۴,۹۳	۱,۰
۳,۱۹	۳,۲۰	۱,۵

در کنترل آماری یک فرایند، نمودارهای کنترل یکی از قوی‌ترین ابزارهای شناخته شده هستند. اما چنانچه مشاهدات ناشی از فرایندی که مربوط به یک مشخصه‌ی کیفی است خودهمبسته باشند، نمودارهای کنترل -- بسته به نوع خودهمبستگی -- یا زنگ خطرهای اشتباہ تولید می‌کنند یا عملکردی بسیار ضعیف و کم اثر دارند. در این نوشтар ابتدا با استفاده از تبدیلی که روی مدل‌های اتورگرسیو مرتبه ۱ و ۲ اعمال شد، نشان داده شد که عملکرد بهترین نمودارهایی را که تاکنون برای این مدل‌ها ارائه شده در حالت‌هایی که تغییر در میانگین فرایند در حد کوچک و متوسط است، می‌توان اصلاح کرد. برای تغییرات بزرگ در میانگین فرایند، عملکرد نمودارها بهبود نمی‌یابد و این بدان علت است که مقدار تغییر نسبی که به میانگین فرایند منتقل می‌شود یک تغییر حدی است و پس از چند گام به میانگین منتقل می‌شود. روش پیشنهادی برای داده‌های خود همبسته از نوع اتورگرسیو مرتبه p تعیین داده شد. بسط منطقی این تبدیل ممکن است شامل داده‌های خود همبسته ناشی از فرایند‌هایی باشد که در آن چند متغیر همبسته وجود دارد به‌طوری که در هر یک از این متغیرها خود همبستگی نیز مطرح است.

براساس الگوریتم پیشنهادی نگارندگان، نمودار EWMA باقی‌مانده‌های اصلاح شده بهترین عملکرد را دارد^[۲] و بهمین دلیل از این نمودار در روش جدید نیز استفاده شده است؛ اما با توجه به نتایج ثبت شده در پیوست ۵- مشخص است که تقریباً نیمی از تغییر نسبی موجود در روش قدیم در روش جدید نیز وجود دارد. با این حال از مقایسه‌ی عملکرد دو روش مشخص است که عملکرد روش جدید به‌ازای $\lambda = 0,7 < 0,4$ بهتر از روش قدیم است و این بدان علت است که در روش جدید، تأثیر افزایش واریانس عناصر خطای روش کمتر از افزایش تغییر منتقل شده به میانگین است. در مورد مقادیر $\phi_1 + \phi_2 < 0$ بهترین روش موجود (قدیم) نمودار EWMA باقی‌مانده است^[۳] و مانند آنچه که در مورد فرایندهای اتورگرسیو مرتبه ۱ گفته شد می‌توان از طریق شبیه‌سازی هم نشان داد که روش قدیم عملکردی مشابه عملکرد روش جدید دارد. به عنوان مثال، نتایج شبیه‌سازی حاصل از ۱۰۰۰۰ تکرار به‌ازای

پانوشت

1. Statistical Process Control (SPC)
2. auto-correlated
3. auto-regressive
4. Average Run Length (ARL)
5. Multivariate Cumulative Sum (MCUSUM)
6. Exponential Weighted Moving Averages (EWMA)
7. Backward Shift Operator

8. adjustment
9. residuals
10. auto-regressive moving average

منابع

1. Alwan, L.C. and Roberts, H.V. "The problem of misplaced control limits", *Journal of the Royal Statistical So-*

- society, Series C, **44**(3), pp. 269- 306, (1995).
2. Noorossana, R. & Vaghefi, S.J.M. "Effect of autocorrelation on performance of the MCUSUM control chart", *Journal of Quality and Reliability Engineering International* 22, pp.191-197, (2005).
 3. Fallah-Neghad, M.S. and Niaki, S.T.A. "Statistical process control charts in presence of auto-correlation; a case study," (IN Farsi), *Sharif Journal of Science and Technology*, 23, pp. 9-20, (2007).
 4. Wieringa, Jakob Edo. "Statistically process control for serially correlated data", Ph.D. Dissertation, Rijks Universiteit Groningen, Netherland, (February 1999).
 5. Lu, C.W. and Reynolds, M.R. Jr., "Control charts for monitoring the mean and variance of autocorrelated processes", Technical report, Virginia Polytechnic Institute and State University, Virginia, U.S.A (1999).
 6. Kramer, H. and Schmid, W. "The influence of parameter estimation on the ARL of Shewhart type charts for time series", Arbeitsbericht 60, Europa-Universität at Viadrina Frankfurt (Oder), Fakultät für Wirtschaftswissenschaften (1996a).
 7. Berthouex, P.M.; Hunter, W.G. and Pallesen, L. "Monitoring sewage treatment plants: some quality control aspects", *Journal of Quality Technology*, 10(4), pp. 139-149, (1978).
 8. Chow, M.C.; Wu, S.M. and Ermer, D.S. "A time series control chart for a nuclear reactor", In Proceedings of the 1979 Annual Reliability and Maintainability Symposium, IEEE Press, New York, N.Y., pp. 1-7, (1979).
 9. Ermer, D.S. "A control chart for dependent data", In ASQC Technical Conference Transactions, ASQC, 34th Annual Technical Conference, Atlanta, U.S.A., pp. 121-128, (1980).
 10. Notohardjono, B.D. and Ermer, D.S. "Time series control charts for correlated and contaminated data", *Journal of Engineering for Industry*, 108, pp. 219-226 (1986).
 11. Schmid, W. "On the run length of a shewhart chart for correlated data", *Statistical Papers*, 36, pp. 111-130 (1995b).
 12. Roberts, S.W. "Control chart tests based on geometric moving averages", *Technometrics*, 1(3), pp. 239-250 (1959).
 13. Hunter, S.J. "The exponentially weighted moving average", *Journal of Quality Technology*, 18(4), pp. 203-210 (1986).
 14. Crowder, S.V. "A simple method for studying run-length distributions of exponentially weighted moving average charts", *Technometrics*, 29(4), pp. 401-407 (1987).

پیوست

پیوست الف

از رابطه‌ی $A_t = \frac{\sigma_x^2(1-\phi^2)}{(1-(\phi-\lambda)^2)} = \frac{\sigma_x^2(1-\phi^2)}{(1-(\phi-\lambda)^2)}$ به دست می‌آید. بنابراین، تغییر نسبی که به مقادیر A_t منتقل می‌شود برابر است با نسبت تغییر منتقل شده به A_t به از انحراف معیار A_t که برابر است با:

$$\delta\sigma_x \left(\frac{1-\phi}{1-\phi+\lambda} \right) = \delta\sigma_x \sqrt{\frac{(1+\phi-\lambda)(1-\phi)}{(1-\phi+\lambda)(1+\phi)}}$$

و به سادگی ثابت می‌شود که مقدار عبارت اخیر به ازای $\lambda < 1$ بزرگ‌تر است. بنابراین مقدار تغییر نسبی انتقال یافته به مقادیر A_t از مقدار تغییر نسبی انتقال یافته به مقادیر X_t بیشتر است و در این حالت چنانچه نمودارهای کنترل برای داده‌های خودهمبسته را در مرور داده‌های تبدیل شده به کار بریم به عمل کرد بهتری دست خواهیم یافت.

پیوست

پیوست الف

$$A_t = X_t - W_{x,t} = \phi(X_{t-1} - \mu) + \mu + \varepsilon_t - \lambda X_{t-1} - (\phi - \lambda)W_{x,t-1}$$

$$(\phi - \lambda)(X_{t-1} - W_{x,t-1}) + \mu(1 - \phi) + \varepsilon_t = (\phi - \lambda)A_{t-1} + \mu(1 - \phi) + \varepsilon_t$$

در نتیجه A_t از مدل اتورگرسیو مرتبه ۱، با پارامتر ϕ پیروی خواهد کرد.

پیوست ب

فرض کنید به مقدار $\delta\sigma_x$ در میانگین ذلیند تغییر به وجود آید. حال مقدار تغییری که به آماره‌ی $A_t = X_t - W_{x,t}$ منتقل می‌شود چنین محاسبه می‌شود:

$$A_t = X_t - W_{x,t} = X_t - \sum_{i=1}^t \lambda(\phi - \lambda)^{i-1} X_{t-i}$$

$$E(X_t) = \mu \rightarrow \mu + \delta\sigma_x$$

$$\rightarrow \delta\sigma_x - \sum_{i=1}^t \lambda(\phi - \lambda)^{i-1} \delta\sigma_x = \delta\sigma_x - \frac{\lambda\delta\sigma_x}{1 - (\phi - \lambda)}$$

در نتیجه به اندازه‌ی $(\frac{\lambda\delta\sigma_x}{1 - (\phi - \lambda)})$ $\delta\sigma_x$ این تغییر به منتقل می‌شود. براساس رابطه‌ی واریانس خطای مدل اتورگرسیو مرتبه ۱، واریانس

شیوه‌سازی‌های انجام شده به وسیله‌ی برنامه‌ی در VISUAL BASIC انجام شده است. روش کار بدین ترتیب است که برای هریک از مدل‌های موجود و مدل‌های پیشنهادی در این پروژه الگوریتم‌های مربوطه بسط داده شده و برنامه‌های رایانه‌ی آنها نوشته شده است. سپس این برنامه‌ها آن قدر اجرا شده‌اند که به ازای تغییر صفر در میانگین، اولین نقطه‌ی خارج از کنترل را در قدم $370/4$ تولید کند و در نتیجه دارای خطای نوع اول برایر با نمودار شوهرارت استاندارد باشند.

فرض کنید مدل‌های اتورگرسیو مرتبه ۱ و ۲، که از آنها در مطالعات شیوه‌سازی این نوشтар استفاده شد، دارای میانگین صفر، و عناصر خطأ در آنها از توزیع نرمال استاندارد برخوردار باشند. در این صورت، مثلاً فلوچارت الگوریتم روش جدید برای

```

y(2) = 0
CCR = correlation + correlation1
For j = 1 To 10000
For i = 3 To 10000
Call normal
x(i) = correlation * (x(i - 1) - x(0)) + correlation1 *
(x(i - 2) - x(0)) + x(0) + sigma
ewma1(i) = landa1 * x(i - 1) + landa1 * x(i - 2) + (correlation -
landa1) * ewma1(i - 1) + (correlation1 - landa1) * ewma1(i -
2)
y(i) = x(i) - ewma1(i)
ewma2(i) = landa2 * y(i) + (1 - landa2) * ewma2(i - 1)
e(i) = y(i) - (correlation - landa1) * y(i - 1) - (correlation1 -
landa1) * y(i - 2) + (CCR - 2 * landa1) * ewma2(i)
ewma3(i) = landa3 * e(i) + (1 - landa3) * ewma3(i - 1)
If (ewma3(i) > 25.69 * ((landa3 / (2 - landa3)) ^ 0.5))
Or (ewma3(i) < -25.69 * ((landa3 / (2 - landa3)) ^ 0.5))
Then
sign(j) = i - 2
GoTo 1
End If
Next i
1:
Next j
For k = 1 To 10000
sum = sum + sign(k)
Next k
Form1.Text1.Text = sum / 10000
Form1.Show
End Sub

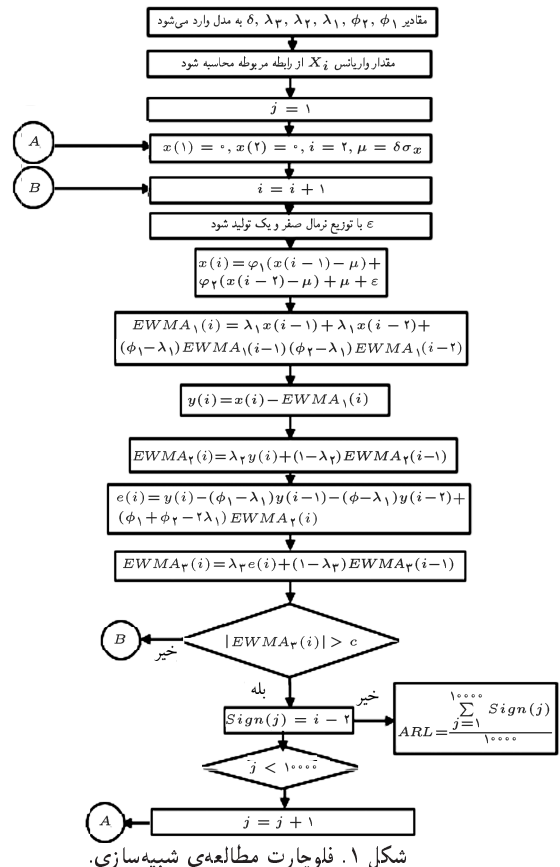
```

پیوست ۵

$$\begin{aligned}
A_t &= X_t - W_{x,t} = \phi_1(X_{t-1} - \mu) + \phi_1(X_{t-\tau} - \mu) + \\
&\varepsilon_t - \lambda X_{t-1} - \lambda X_{t-\tau} - (\phi_1 - \lambda)W_{x,t-1} \\
&- (\phi_1 - \lambda)W_{x,t-\tau} = (\phi_1 - \lambda)(X_{t-1} - W_{x,t-1}) + (\phi_\tau - \lambda) \\
&(X_{t-\tau} - W_{x,t-\tau}) - (\phi_1 + \phi_\tau)\mu + \varepsilon_t = \\
&(\phi_1 - \lambda)A_{t-1} + (\phi_\tau - \lambda)A_{t-\tau} - (\phi_1 + \phi_\tau)\mu + \varepsilon_t
\end{aligned}$$

و درنتیجه A_t از مدل اتورگرسیو مرتبه ۲ با پارامترهای $(\phi_1 - \lambda)$ و $(\phi_\tau - \lambda)$ برخوردار خواهد بود.

حال ثابت می شود که کارایی مدل A_t از مدل X_t بیشتر است. چنانچه به اندازه هی در میانگین فرایند تغییر به وجود آید می توان شبیه پیوست ب ثابت کرد که مقدار $\delta\sigma_x$ تغییر انتقال یافته به مقادیر A_t برابر با $\frac{\lambda\delta\sigma_x}{1-(\phi_1-\lambda)} - \frac{\lambda\delta\sigma_x}{1-(\phi_\tau-\lambda)}$ بود. براساس رابطه هی واریانس مدل اتورگرسیو مرتبه ۲، واریانس A_t از رابطه زیر



شکل ۱. فلوچارت مطالعه شبهه سازی.

نمودار EWMA باقیمانده های اصلاح شده که درمورد فرایند اتورگرسیو مرتبه ۲ به کار گرفته شده طبق شکل ۱ است. الگوریتم های مربوط به سایر روش ها به طور مشابه قابل بسط آنند.

پیوست ۶

```

Private Sub new modified ewma residuals_Click()
Randomize
correlation = Form2.Text1.Text
landa1 = Form2.Text16.Text
landa2 = Form2.Text17.Text
landa2 = Form2.Text18.Text
correlation = Form2.Text1.Text
correlation1 = Form2.Text19.Text
constant=(1-(correlation^2)-(correlation1^2)
-2 * correlation1 * (correlation ^ 2)/(1- correlation1)) ^ (-0.5)
x(0) = Form2.Text2.Text * constant
x(1) = 0
x(2) = 0
e(0) = 0
e(1) = 0
y(1) = 0

```

پیوست ح

به دست می‌آید:

$$\frac{\sigma_x^2}{1 - (\phi_1 - \lambda)^2 - (\phi_2 - \lambda)^2 - 2 \frac{(\phi_1 - \lambda)(\phi_2 - \lambda)}{1 - (\phi_1 - \lambda)}} =$$

$$\frac{\sigma_x^2(1 - \phi_1^2 - \phi_2^2 - 2 \frac{\phi_1 \phi_2}{1 - \phi_1})}{1 - (\phi_1 - \lambda)^2 - (\phi_2 - \lambda)^2 - 2 \frac{(\phi_1 - \lambda)(\phi_2 - \lambda)}{1 - (\phi_1 - \lambda)}}$$

بنابراین مقدار تغییر نسبی که به مقادیر A_t منتقل می‌شود برابر خواهد بود با نسبت تغییر منتقل شده به A_t به انحراف معیار A_t که برابر خواهد با:

$$\frac{\delta \sigma_x - \frac{\lambda \delta \sigma_x}{1 - (\phi_1 - \lambda)} - \frac{\lambda \delta \sigma_x}{1 - (\phi_2 - \lambda)}}{\sqrt{\frac{\sigma_x^2 (1 - \phi_1^2 - \phi_2^2 - 2 \frac{\phi_1 \phi_2}{1 - \phi_1})}{1 - (\phi_1 - \lambda)^2 - (\phi_2 - \lambda)^2 - 2 \frac{(\phi_1 - \lambda)(\phi_2 - \lambda)}{1 - (\phi_1 - \lambda)}}}}$$

برای به دست آوردن مقدار بیشینه‌ی این عبارت می‌توان با جایگزینی مقادیر ϕ_1, ϕ_2 به مقدار مناسب λ که بهارای آن مقدار تغییر منتقل یافته به میانگین بیشینه می‌شود، رسید.

$$W_{x,t} = \lambda X_{t-1} + \lambda X_{t-2} + \cdots + \lambda X_{t-p} + (\phi_1 - \lambda)W_{x,t-1} + (\phi_2 - \lambda)W_{x,t-2} + \cdots + (\phi_p - \lambda)W_{x,t-p}$$

$$\begin{aligned} A_t &= X_t - W_{x,t} = \phi_1(X_{t-1} - \mu) + \cdots + \phi_p(X_{t-p} - \mu) \\ &\quad + \varepsilon_t + \mu - \lambda X_{t-1} - \lambda X_{t-2} - \cdots - \lambda X_{t-p} - (\phi_1 - \lambda)W_{x,t-1} - \\ &\quad (\phi_2 - \lambda)W_{x,t-2} - \cdots - (\phi_p - \lambda)W_{x,t-p} = \\ &= (\phi_1 - \lambda)(X_{t-1} - W_{x,t-1}) + (\phi_2 - \lambda)(X_{t-2} - W_{x,t-2}) + \\ &\quad \cdots + (\phi_p - \lambda)(X_{t-p} - W_{x,t-p}) + \\ &\quad \mu(1 - \sum_{i=1}^p \phi_i) + \varepsilon_t = (\phi_1 - \lambda)A_{t-1} + (\phi_2 - \lambda)A_{t-2} + \cdots + \\ &\quad (\phi_p - \lambda)A_{t-p} + \mu(1 - \sum_{i=1}^p \phi_i) + \varepsilon_t \end{aligned}$$

در تیجه A_t از مدل اتورگرسیو مرتبه p برخوردار است.